

Calcul symbolique-numérique des développements de Puiseux au dessus des points critiques partie modulaire

Adrien Poteaux

XLIM-DMI (UMR CNRS 6172)
Université de Limoges

Journées Gecko

Problématique

- But : évaluation numérique de fonctions algébriques près d'un point critique.
- Pourquoi ?
 - Utile dans le cadre du théorème d'Abel Jacobi.
 - Utile pour le calcul de la monodromie (Poteaux, SNC 2007).
- Comment ?
 - Calcul numérique des développements de Puiseux au dessus des points critiques.
 - Nécessité d'avoir des informations exactes
 - ⇒ obtenues par un calcul modulo p .
- Aujourd'hui : partie modulaire de l'algorithme
 - Critère de bonne réduction (choix du nombre premier p).
 - Déduction de l'arbre des polygones du calcul modulo p .
 - Complexité bit de l'algorithme de Newton-Puiseux modulo p .

Notations

- $F \in \mathcal{K}[X, Y]$ unitaire, sans carré où \mathcal{K} sous-corps de \mathbb{C} .
- $\mathcal{C} = \{(x, y) \in \mathbb{C}^2 \mid F(x, y) = 0\}$ la courbe associée.
- **Fibre** en x_0 : $\mathcal{F}(x_0) = \{\text{racines de } F(x_0, Y) = 0\}$.
- **Point régulier** : $\#\mathcal{F}(x_0) = D_Y$.
- **Point critique** : $\#\mathcal{F}(x_0) < D_Y$.
- $\delta(x_0)$: distance entre x_0 et son plus proche point critique.

Points réguliers

Soit x_0 régulier et $\mathcal{F}(x_0) = \{y_1, \dots, y_{D_Y}\}$ la fibre en x_0 .

- Théorème des fonctions implicites : il existe D_Y séries
$$Y_i(X) = \sum_{k=0}^{\infty} \alpha_{ik} (X - x_0)^k$$
 t.q. $F(x, Y_i(x)) = 0$ dans un voisinage de x_0 et $Y_i(x_0) = y_i$.
- Ces séries ont un rayon de convergence au moins égal à $\delta(x_0)$.
- Newton quadratique : N termes en $O^{\sim}(D_Y N)$ opérations dans \mathcal{K} (pour une série).
Kung & Traub 1978, *All algebraic functions can be computed fast*

Points critiques : Séries de Puiseux

- Il existe D_Y séries $Y_{ij}(X) = \sum_{k=1}^{\infty} \alpha_{ik} \zeta_{e_i}^{jk} (X - x_0)^{\frac{k}{e_i}}$ t.q.
 $F(X, Y_{ij}(X)) = 0$ pour tout $1 \leq j \leq e_i$, $1 \leq i \leq s$, avec
 - ζ_{e_i} racine primitive e_i -ème de l'unité.
 - e_1, \dots, e_s partition de D_Y
- Les e_i sont les **indices de ramification**.
- Ces séries ont un rayon de convergence au moins égal à $\delta(x_0)$.

But : Calculer rapidement une évaluation numérique de ces séries.

Partie singulière

$$Y_{ij}(X) = \sum_{k=1}^{\infty} \alpha_{ik} \zeta_{e_i}^{jk} (X - x_0)^{\frac{k}{e_i}}$$

Définition

L'indice de régularité de Y_{ij} est le plus petit entier c_{ij} qui vérifie la propriété qu'aucune autre série de Puiseux de F ait pour somme

partielle
$$\sum_{k=1}^{c_{ij}} \alpha_{ik} \zeta_{e_i}^{jk} (X - x_0)^{\frac{k}{e_i}}$$

Définition

La partie singulière de la série S_{ij} est
$$\sum_{k=1}^{c_{ij}} \alpha_{ik} \zeta_{e_i}^{jk} (X - x_0)^{\frac{k}{e_i}}$$

Remarque : termes suivant = partie régulière.

⇒ calculés via Newton quadratique.

Etat de l'art

- Newton (1676) : donne le principe.
- Puiseux (1850) : première procédure.
- Chystov (1986) : complexité binaire polynomiale.
- Duval (1989) : algorithme rationnel.
 - Minimise l'extension de \mathcal{K} dans laquelle on travaille.
 - Calcul de la partie singulière : $O(d^8)$ opérations dans \mathcal{K} où $d = \max(D_X, D_Y)$.
- Walsh (2000) : complexité binaire de la partie singulière :
 $O\tilde{(D_Y^{32} D_X^4)}$ (pour l'algorithme classique).
- Walsh (1999) : taille polynomiale des coefficients pour certains développements rationnels.
- Utilisation de l'équation différentielle.

Algorithme de Newton-Puiseux : partie singulière

$$F(X, Y) = \sum_{i,j} a_{ij} X^j Y^i, \quad P(X) = X, \quad Q(X, Y) = Y$$

Pour chaque arête Δ

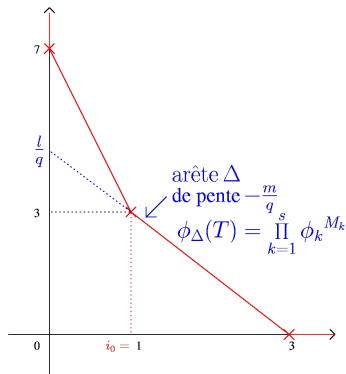
- u, v tels que $uq - vm = 1$.
- polynôme caractéristique :

$$\phi_{\Delta}(T) = \sum_{(i,j) \in \Delta} a_{ij} T^{\frac{i-i_0}{q}}$$

Pour chaque ϕ_k , ξ t.q. $\phi_k(\xi) = 0$.

- $F(X, Y) \leftarrow \frac{F(\xi^u X^q, \xi^v X^m(1+Y))}{X^l}$
- $P(X) \leftarrow P(\xi^u X^q)$
- $Q(X, Y) \leftarrow Q(\xi^u X^q, \xi^v X^m(1+Y))$

$$x(T) = P(T), y(T) = Q(T, 0)$$

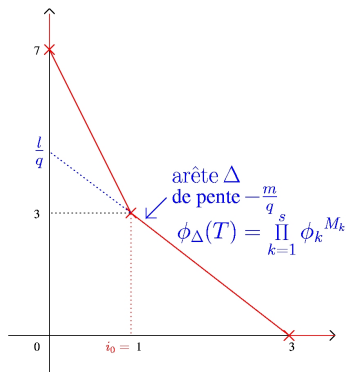


Algorithme numérique ?

$$F(X, Y) \leftarrow \frac{F(\xi^u X^q, \xi^v X^m(1+Y))}{X^l}$$

Certaines informations doivent être connues de façon exacte :

- Les polygones de Newton
- Les multiplicités des racines de ϕ_Δ



Algorithme symbolique

- Calcul dans des extensions de degré potentiellement élevé.
- Croissance des coefficients.

Exemple : $F = (y^3 - x)((y - 1)^2 - x)(y - 2 - x^2) + x^2 y^5$ a pour discriminant $x^3 P(x)$ avec $\deg_x(P) = 23$.

Les coefficients de son développement de Puiseux à l'ordre 1 ont une taille de 136 chiffres!

Approche numérique-modulaire

- 1 Calcul de la partie singulière modulo un bon premier p .

Cela nous donne :

- Les pentes rationnelles $-\frac{m}{q}$ avec $q \neq 1$.
- Les multiplicités des racines de $\phi_{\Delta}(T)$, sauf éventuellement une.

- 2 Ajout des pentes entières.

- 3 Calcul numérique des séries de Puiseux guidé par les informations modulaires.

Partie modulaire

- ① Critère de bonne réduction.
- ② Des séries modulo p à l'arbre de polygone.
- ③ Complexité binaire de l'algorithme modulaire.

Réductibilité des séries modulo p

On s'intéresse au calcul des séries de Puiseux au dessus de 0.

Théorème

Soit p un nombre premier tel que

- $p > D_Y$
- On peut former la réduction \bar{F} de F modulo p .
- $\text{Disc}_Y(F)$ et $\text{Disc}_Y(\bar{F})$ ont la même valuation X -adique.

Alors les séries de Puiseux peuvent être réduites modulo p

Exemple : $F(X, Y) = Y^2 - X^3(X + p)$

Séries solutions :

$$S(X) = \sqrt{p}(-1)^j X^{\frac{3}{2}} + \frac{1}{2\sqrt{p}}(-1)^j X^{\frac{5}{2}} - \frac{1}{8p^{\frac{3}{2}}} X^{\frac{7}{2}} + \frac{1}{16p^{\frac{5}{2}}}(-1)^j X^{\frac{9}{2}} + \dots$$

Discriminant : $\text{Disc}_Y(F) = 4pX^3 + 4X^4$

Preuve :

Dwork & Robba (1979), *On natural radii of p-adic convergence* :

Théorème

Le rayon de convergence p-adique des séries de Puiseux est supérieur ou égal à la valeur absolue p-adique de la plus petite racine du discriminant.

$Disc_Y(F) = X^\mu(c_0 + \dots + c_r X^r)$ avec $val_p(c_0) = 0$ et $val_p(c_i) \geq 0$.

Si $val_p(x) > 0$ et $x \neq 0$, alors $val_p(c_0 + c_1 x + \dots + c_r x^r) = 0$.

\Rightarrow Pas de racines du discriminant dans $D(0, 1^-)$

Les séries de Puiseux convergent p-adiquement sur $D(0, 1^-)$.

En tant que racine de F (dont les coefficients sont de valuation positive), les séries de Puiseux sont bornés p-adiquement par 1 .

Preuve :

$$S(X) = \sum_i \alpha_i X^{i/e}$$

- 1 $S(X)$ converge sur $D(0, 1^-)$.
- 2 $|S(x)|_p \leq 1$ pour $x \in D(0, 1^-)$.

Proposition

Soit $S \in \mathbb{C}_p[[X]]$ convergente et bornée sur $D(0, 1^-)$.

Alors $\sup\{|S(x)|_p, x \in D(0, 1^-)\} = \max_i |\alpha_i|_p$.

Conclusion : $\max_i |\alpha_i|_p \leq 1$, soit $val_p(\alpha_i) \geq 0 \forall i$ \square

Bonne réduction des séries

Pour pouvoir suivre l'algorithme numériquement, on a besoin :

- Des pentes des polygones.
- Des multiplicités des polynomes caractéristiques.

On a donc besoin de préserver :

- les pentes non entières (mômes introduisant la ramification).
- la différenciation des racines des polynomes caractéristiques.

Il faut donc que les termes de tête des différences de racines ne soient pas réduits à 0 modulo p , et donc que la valuation du discriminant reste inchangée.

Exemple : $F \in \mathcal{K}[X, Y]$, $D_Y = 21$, $D_X = 22$

$$(1) \quad Y = X^{1/2} - 23X + X^{3/2} \quad (4) \quad Y = X^{1/3}$$

$$(2) \quad Y = X^{1/2} - 23X + 2X^{3/2} \quad (5) \quad Y = 5X^{1/3} + X^{2/3} + X^{5/6}$$

$$(3) \quad Y = X^{1/2} - 23X + 46X^{3/2} \quad (6) \quad Y = 5X^{1/3} + X^{2/3} + 2X^{5/6}$$

Coefficient de plus bas degré du discriminant : $-2^{92}3^{71}5^{244}11^431^{24}$

Du modulaire au numérique : un exemple

① Calcul des séries modulo $p = 23$:

$$\begin{array}{ll} (1) & Y = X^{1/2} + X^{3/2} & (4) & Y = X^{1/3} \\ (2) & Y = X^{1/2} + 2X^{3/2} & (5) & Y = 5X^{1/3} + X^{2/3} + X^{5/6} \\ (3) & Y = X^{1/2} + X^2 & (6) & Y = 5X^{1/3} + X^{2/3} + 2X^{5/6} \end{array}$$

② On ajoute les pentes entières :

$$\begin{array}{ll} (1) & Y = X^{1/2} + \alpha X + X^{3/2} & (4) & Y = X^{1/3} \\ (2) & Y = X^{1/2} + \alpha X + 2X^{3/2} & (5) & Y = 5X^{1/3} + X^{2/3} + X^{5/6} \\ (3) & Y = X^{1/2} + \alpha X + \beta X^{3/2} & (6) & Y = 5X^{1/3} + X^{2/3} + 2X^{5/6} \end{array}$$

③ On reconstruit l'arbre des polygones à partir de ces séries

Complexité binaire de l'algorithme rationnel modulo p

Algorithme rationnel :

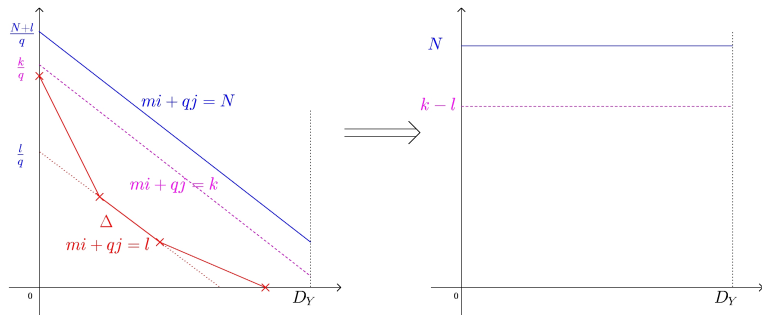
- Calcule un représentant par classe de conjugaison.
- $X_i(T) = \lambda T^{e_i}$, $Y_i(T) = \sum_{k=0}^{\infty} \alpha_{i,k} T^k$, $\alpha_{i,k} \in \mathcal{K}_i$, $1 \leq i \leq r$.
- Si $f_i = [\mathcal{K}_i : \mathcal{K}]$, on a $\sum_{i=0}^r e_i f_i = D_Y$.

A chaque étape, opérations la plus coûteuse :

- Calcul de $F(\xi^v X^q, \xi^u X^m(1 + Y))$.

Une opération dans \mathbb{F}_q : $O(M(\log q) \log \log q)$ opérations binaires.

Transformation sur le polygone



$$F_k(X, Y) := \sum_{mi+qj=k} a_{ij} X^j Y^i.$$

$$F_{k,1}(X, Y) = F(X^q, X^m Y) / X^l \text{ (transformation géométrique).}$$

$$F_{k,2}(X, Y) = \xi^{\frac{vk}{q}} F_{k,1}(X, \xi^{\frac{-mv}{q}} (Y + 1)) \text{ (shift).}$$

Changements de variable

Notons $M_{i,k}$ le coût du k -ième changement de variable associé à la i -ième branche, et M_i le coût des développements successifs pour la i -ième branche.

$$\begin{aligned}M_{i,k} &= N_k \text{ shifts} \\ &= O(ND_Y \log D_Y) \text{ opérations dans } \mathbb{F}_q. \\ &= O(ND_Y f_i \log D_Y \log f_i \log p) \text{ opérations binaires.}\end{aligned}$$

$$\begin{aligned}M_i &= \sum_{k=1}^N M_{i,k} \\ &= O(N^2 D_Y f_i \log D_Y \log f_i \log p) \text{ opérations binaires.}\end{aligned}$$

Coût de l'ensemble des changements de variables :

$$\begin{aligned}\sum_{i=1}^s M_i &= O(N^2 D_Y \sum_{i=1}^r f_i (\log D_Y)^2 \log p) \\ &= O(N^2 D_Y^2 (\log D_Y)^2 \log p)\end{aligned}$$

\Rightarrow borne quadratique en la sortie.

Application à la partie singulière

Proposition

On peut borner par le nombre de termes N nécessaires pour séparer les racines par la valuation du discriminant en Y

Donc $N \leq \text{val}_X(\text{Disc}_Y(F)) = O(D_X D_Y)$.

Théorème

Le nombre d'opérations binaires pour calculer la partie singulière des développements de Puiseux de $F \in \mathbb{F}_p[X, Y]$ est borné par $O(D_Y^4 D_X^2 (\log D_Y)^2 \log p)$.

Conclusion-Perspectives

- Choix du premier p :
 - Critère de réduction : problème du calcul du discriminant.
Méthode probabiliste ?
- Complexité : quadratique en la sortie. Acceptable en pratique.
 - Complexité pour trouver p (ou taille du p).
 - Affiner la borne pour N (introduction des e_i).